

01:03

# Капиллярные осцилляции и устойчивость заряженной капли, вращающейся вокруг оси симметрии

© С.О. Ширяева

Ярославский государственный университет им. П.Г. Демидова,  
150000 Ярославль, Россия  
e-mail: grig@uniyar.ac.ru

(Поступило в Редакцию 15 августа 2008 г.)

В линейном приближении по амплитуде осцилляций и по квадрату эксцентрикитета сфероидальной деформации вращающейся вокруг оси симметрии заряженной капли электропроводной жидкости исследована ее устойчивость по отношению к давлению электрического поля собственного заряда и давлению сил инерции. Выяснилось, что осесимметричные моды вращающейся заряженной капли устойчивы, неустойчивость могут претерпевать лишь неосесимметричные моды с максимальными для данной моды значениями азимутальных чисел. Сила Кориолиса играет стабилизирующую роль.

PACS: 47.32.-y, 47.55.D-, 47.65.-d

## Введение

Исследование физических закономерностей осцилляций и устойчивости вращающихся заряженных капель, начавшееся почти век назад в связи с исследованиями ядра атома в рамках „капельной“ модели [1], представляет интерес и в связи с изучением процессов в грозовых облаках, воронках смерчей и других заряженных жидкокапельных системах естественного и искусственного происхождения [2,3]. В последние годы экспериментальные исследования нелинейных осцилляций вращающихся капель привлекают к себе внимание исследователей в связи с проблемой получения высокочистых веществ и бесконтактного измерения физико-химических характеристик жидких веществ [4–9]. Наиболее распространенный метод теоретического аналитического исследования устойчивости вращающихся капель, основанный на теореме вириала, был предложен С. Чандрасекхаром [10] для незаряженной капли, затем обобщен на случай наличия внешнего электрического поля и электрического заряда на капле в [11,12]. На этом методе базируется большинство теоретических исследований по данному вопросу (см., например, [13]). Кроме того, используются прямые вариационные [14,15] и численные методы [16]. Нижеследующий анализ будет проведен в рамках прямого решения линеаризованных уравнений электрогидродинамики аналогично тому, как это делалось в [17].

## Постановка задачи

Пусть имеется капля идеальной несжимаемой, идеально проводящей жидкости в вакууме, вращающаяся с постоянной угловой скоростью  $\Omega$ , по поверхности которой равномерно распределен заряд  $Q$ . Радиус (сферической в отсутствие вращения) капли  $R$ , плотность жидкости  $\rho$  и коэффициент поверхностного натяжения свободной поверхности  $\sigma$  примем в качестве основных

масштабов обезразмеривания, положив  $R = \rho = \sigma = 1$ . Все остальные физические величины (скорость, давление, угловая скорость вращения, заряд) будут выражены в долях своих характерных масштабов соответственно:

$$\begin{aligned} [U] &= \sqrt{\sigma/\rho R}; & [P] &= \sigma/R; \\ [\Omega] &= \sqrt{\sigma/\rho R^3}; & [Q] &= \sqrt{\sigma R^3}. \end{aligned}$$

Для удобства дальнейших рассуждений перейдем к неинерциальной системе отсчета, вращающейся с той же угловой скоростью  $\Omega$ , начало которой совместим с центром масс капли. Все рассмотрение проведем в сферической системе координат  $(r, \vartheta, \varphi)$ .

Давление центробежных сил приведет к деформации равновесной поверхности капли от сферической формы к форме, которая в линейном по квадрату эксцентрикитета  $e$  приближении может быть описана сплюснутым вдоль оси вращения сфероидом:

$$\begin{aligned} r &= r_{\text{sph}}(\vartheta) \equiv 1 - e^2 h(\vartheta); & h(\vartheta) &\equiv \frac{1}{3} P_2(\cos \vartheta); \\ e^2 &= \Omega^2/4(1-W); & W &\equiv Q^2/16\pi; & e^2 &\sim \Omega^2 < 1. \end{aligned} \quad (1)$$

Здесь  $P_2(\cos \vartheta)$  — полином Лежандра;  $W$  — параметр Рэлея, характеризующий отношение электрических и капиллярных сил, действующих на свободную поверхность. Поверхность сферической капли становится неустойчивой при значении  $W \geq 1$ .

В настоящей работе исследуются осцилляции и устойчивость такой капли в поле центробежных кориолисовых и электрических сил.

## Математическая формулировка задачи

Форму осциллирующей капли в произвольный момент времени представим в виде

$$r = r_{\text{sph}}(\vartheta) + \varepsilon \xi(\vartheta, \varphi, t); \quad |\xi(\vartheta, \varphi, t)| \sim 1; \quad \varepsilon \ll e^2, \quad (2)$$

где функция  $\varepsilon\xi(\vartheta, \varphi, t)$  описывает возмущение равновесной поверхности,  $\varepsilon$  — безразмерная амплитуда этого возмущения. Распределение поля скоростей  $\mathbf{U}(\mathbf{r}, t)$ , давления  $P(\mathbf{r}, t)$  внутри капли и электрического потенциала  $\Phi(\mathbf{r}, t)$  вне ее определяется системой уравнений электротехидродинамики идеальной жидкости:

$$\nabla \cdot \mathbf{U} = 0; \quad \Delta\Phi = 0;$$

$$\partial_t \mathbf{U} + (\mathbf{U} \cdot \nabla) \mathbf{U} + 2(\boldsymbol{\Omega} \times \mathbf{U}) = -\nabla P + \frac{1}{2} \nabla |\boldsymbol{\Omega} \times \mathbf{r}|^2. \quad (3)$$

Используемый здесь и далее оператор  $\partial_t$  означает частную производную по переменной  $t$ . Потребуем, чтобы искомые решения удовлетворяли условиям ограниченности в центре капли и на бесконечном удалении от ее поверхности:

$$r \rightarrow 0 : \quad P, |\mathbf{U}| \rightarrow 0; \quad r \rightarrow \infty : \quad |\nabla\Phi| \rightarrow 0, \quad (4)$$

а также гидродинамическими и электростатическим условиями на свободной поверхности (2):

$$\begin{aligned} r &= r_{\text{sph}}(\vartheta) + \varepsilon\xi(\vartheta, \varphi, t); \\ \partial_t F(r, \vartheta, \varphi, t) + \mathbf{U} \cdot \nabla F(r, \vartheta, \varphi, t) &= 0; \\ F(r, \vartheta, \varphi, t) &\equiv r - r_{\text{sph}}(\vartheta) - \varepsilon\xi(\vartheta, \varphi, t); \quad P + P_Q = P_\sigma; \\ \Phi(r, \vartheta, \varphi, t) &= \Phi_S(t); \end{aligned} \quad (5)$$

$P_Q = (\nabla\Phi)^2/8\pi$  и  $P_\sigma = \nabla \cdot \mathbf{n}$  — давление на поверхность капли электрических и капиллярных сил соответственно;  $\mathbf{n}$  — орт нормали к поверхности (2).

Дополним формулировку задачи естественными условиями сохранения объема, суммарного заряда капли и неподвижности ее центра масс при осцилляциях поверхности:

$$\iiint_V dV = \frac{4}{3}\pi; \quad \iint_S (\mathbf{n} \cdot \nabla\Phi) dS = -4\pi Q; \quad \iiint_V \mathbf{r} dV = 0; \quad (6)$$

$$\begin{aligned} V &\equiv \{0 \leq r \leq r_{\text{sph}}(\vartheta) + \varepsilon\xi(\vartheta, \varphi, t); \\ &0 \leq \vartheta \leq \pi; \quad 0 \leq \varphi \leq 2\pi\}; \\ S &\equiv \{r = r_{\text{sph}}(\vartheta) + \varepsilon\xi(\vartheta, \varphi, t); \\ &0 \leq \vartheta \leq \pi; \quad 0 \leq \varphi \leq 2\pi\}. \end{aligned}$$

Система уравнений (3) с граничными условиями (4), (5) и дополнительными условиями (6) представляет собой полную математическую формулировку поставленной задачи.

## Равновесное состояние и линеаризация задачи

Во введенной вращающейся системе координат поле скоростей течения жидкости в капле  $\mathbf{U}(\mathbf{r}, t)$  будет определяться колебаниями поверхности капли и, следовательно, иметь тот же порядок величины:  $|\mathbf{U}| \sim \varepsilon$ .

Представим функцию, описывающую возмущение равновесной поверхности  $\xi(\vartheta, \varphi, t)$  в наиболее общем виде — в виде разложения по сферическим функциям  $Y_l^m(\vartheta, \varphi)$ :

$$\xi(\vartheta, \varphi, t) = \varepsilon \sum_{l=0}^{\infty} \sum_{m=-l}^l M_l^m Y_l^m(\vartheta, \varphi) \exp(st), \quad (7)$$

а безразмерную амплитуду  $\varepsilon$  примем в качестве малого параметра задачи. В (7)  $s$  — частота осцилляций, а  $M_l^m$  — численные коэффициенты, определяющие парциальный вклад отдельных мод:

$$\left| \sum_{l=0}^{\infty} \sum_{m=-l}^l M_l^m Y_l^m(0, 0) \right| \sim 1.$$

Подстановка выражения (7) в дополнительные условия сохранения объема капли и неподвижности ее центра масс (6) позволяет уточнить соотношение между численными множителями  $M_l^m$ . Оказывается, что коэффициенты  $M_0^0$  и  $M_1^m$ , определяющие вклад нулевой и первой мод, имеют более высокий порядок малости, чем все остальные и не являются независимыми. Они отличны от нуля только, если не равны нулю амплитуды второй и третьей мод соответственно:  $M_0^0 \sim e^2 M_2^0$ ;  $M_1^m \sim e^2 M_3^m$ .

В нижеследующих рассуждениях, преследуя цель исследования взаимодействия капиллярных осцилляций со сфероидальным искажением равновесной поверхности, порождаемым вращением, будем учитывать слагаемые  $\sim \varepsilon, e^2\varepsilon, \Omega^2\varepsilon$ . Все искомые величины представим в виде разложений по малому параметру:

$$\mathbf{U} = \varepsilon \mathbf{u} + \mathcal{O}(\varepsilon^2); \quad \Phi = \Phi^{(\text{eq})} + \varepsilon \Phi^{(l)} + \mathcal{O}(\varepsilon^2);$$

$$\begin{aligned} P &= p^{(\text{eq})} + \varepsilon p + \mathcal{O}(\varepsilon^2); \quad P_Q = p_Q^{(\text{eq})} + \varepsilon p_Q + \mathcal{O}(\varepsilon^2); \\ P_\sigma &= p_\sigma^{(\text{eq})} + \varepsilon p_\sigma + \mathcal{O}(\varepsilon^2). \end{aligned} \quad (8)$$

Индекс „eq“ обозначает равновесное значение. Подстановка разложений (8) в систему уравнений (3)–(6) позволяет получить задачи различных по  $\varepsilon$  порядков малости: нулевого и первого.

Задача нулевого порядка описывает равновесное состояние системы и имеет вид:

$$\partial_r p^{(\text{eq})} = \Omega^2 r \sin^2 \vartheta; \quad \partial_\vartheta p^{(\text{eq})} = \Omega^2 r^2 \sin \vartheta \cos \vartheta;$$

$$\partial_\varphi p^{(\text{eq})} = 0; \quad \Delta\Phi^{(\text{eq})} = 0;$$

$$r \rightarrow \infty : \quad |\nabla\Phi^{(\text{eq})}| \rightarrow 0;$$

$$r = r_{\text{sph}}(\vartheta) : \quad p^{(\text{eq})} + p_Q^{(\text{eq})} = p_\sigma^{(\text{eq})}; \quad \Phi^{(\text{eq})}(r, \vartheta) = \Phi_S^{(\text{eq})};$$

$$\iint_S (\mathbf{n}^{(\text{eq})} \cdot \nabla\Phi^{(\text{eq})}) dS = -4\pi Q;$$

$$S \equiv \{r = r_{\text{sph}}(\vartheta); \quad 0 \leq \vartheta \leq \pi; \quad 0 \leq \varphi \leq 2\pi\};$$

$$p_Q^{(\text{eq})} = (\nabla\Phi^{(\text{eq})})^2/8\pi; \quad p_\sigma^{(\text{eq})} = \nabla \cdot \mathbf{n}^{(\text{eq})}.$$

Здесь  $\mathbf{n}^{(eq)}$  — орт нормали к свободной поверхности сплюснутого сфероида (1). В результате решения выписанной системы несложно получить, что распределения давления и электрического потенциала в равновесном состоянии с точностью до слагаемых  $\sim e^2$ ,  $\Omega^2$  определяются следующими выражениями:

$$\begin{aligned} p^{(eq)}(r, \vartheta) &= 2(1 - W) - \frac{1}{6}\Omega^2(2 - 3r^2 \sin^2 \vartheta); \\ \Phi_0^{(eq)}(r, \vartheta) &= \frac{Q}{r} - e^2 \frac{Q}{r^3} h(\vartheta). \end{aligned} \quad (9)$$

Гидродинамическая часть задачи первого по амплитуде  $\varepsilon$  порядка малости имеет вид:

$$\partial_t u_r - 2\Omega u_\varphi \sin \vartheta = -\partial_r p; \quad (10)$$

$$\partial_t u_\vartheta - 2\Omega u_\varphi \cos \vartheta = -\frac{1}{r} \partial_\vartheta p; \quad (11)$$

$$\partial_t u_\varphi + 2\Omega(u_r \sin \vartheta + u_\vartheta \cos \vartheta) = -\frac{1}{r \sin \vartheta} \partial_\varphi p; \quad (12)$$

$$\frac{1}{r^2} \partial_r(r^2 u_r) + \frac{1}{r \sin \vartheta} \partial_\vartheta(\sin \vartheta u_\vartheta) + \frac{1}{r \sin \vartheta} \partial_\varphi u_\varphi = 0; \quad (13)$$

$$r \rightarrow 0: \quad p, u_r, u_\vartheta, u_\varphi \rightarrow 0; \quad (14)$$

$$r = 1: \quad -\partial_t \xi + u_r - e^2(h(\vartheta) \partial_r u_r - \partial_\vartheta h(\vartheta) u_\vartheta) = 0; \quad (15)$$

$$\begin{aligned} p - e^2 h(\vartheta) \partial_r p + \Omega^2 \xi \sin^2 \vartheta + p_Q = \\ - (2 + \Delta_{\vartheta, \varphi}) \xi + 2e^2 h(\vartheta) (4 - \Delta_{\vartheta, \varphi}) \xi; \end{aligned} \quad (16)$$

$$\Delta_{\vartheta, \varphi} \equiv \Delta_\vartheta + \Delta_\varphi \equiv \frac{1}{\sin \vartheta} \partial_\vartheta(\sin \vartheta \partial_\vartheta) + \frac{1}{\sin^2 \vartheta} \partial_{\vartheta, \varphi};$$

$p_Q$  — линейная по  $\xi$  составляющая давления электрического поля на поверхность капли, которая определяется из решения электрической части задачи. Для удобства решения последней представим искомое возмущение электрического потенциала  $\Phi^{(l)}$  в виде разложения по квадрату эксцентризитета  $e^2$ :

$$\Phi^{(1)} = \Phi_0^{(1)} + e^2 \Phi_1^{(1)}. \quad (17)$$

Для отыскания каждой из компонент этого разложения получим отдельную краевую задачу:

$$\Delta \Phi_j^{(1)} = 0;$$

$$r \rightarrow \infty: \quad |\nabla \Phi_j^{(1)}| \rightarrow 0; \quad (j = 0, 1);$$

$$r = 1: \quad \Phi_0^{(1)} - Q\xi = \Phi_{S,0}^{(1)}(t);$$

$$\Phi_1^{(1)} + Q(\xi - \partial_r \Phi_0^{(1)}) h(\vartheta) = \Phi_{S,1}^{(1)}(t);$$

$$\iint_{\Xi} \partial_r \Phi_0^{(1)} s \Xi = 0;$$

$$\begin{aligned} \iint_{\Xi} (\partial_r \Phi_1^{(1)} - h(\vartheta)(6Q\xi + \partial_r(r^2 \partial_r \Phi_0^{(1)})) \\ + \partial_r h(\vartheta)(Q \partial_\vartheta \xi + \partial_\vartheta \Phi_0^{(1)})) d\Xi = 0; \end{aligned}$$

$$d\Xi = \sin \vartheta d\vartheta d\varphi; \quad \Xi = \{r = 1; 0 \leq \vartheta \leq \pi; 0 \leq \varphi \leq 2\pi\}.$$

Последовательное решение выписанных задач позволяет найти компоненты разложения (17):

$$\begin{aligned} \Phi_0^{(1)}(\mathbf{r}, t) &= Q \sum_{l=2}^{\infty} \sum_{m=-l}^l M_l^m r^{-(l+1)} Y_l^m(\vartheta, \varphi); \\ \Phi_1^{(1)}(\mathbf{r}, t) &= -Q \sum_{l=1}^{\infty} \sum_{m=-l}^l \left( \frac{l+2}{3} \gamma_l^m M_l^m + \right. \\ &\quad \left. + (l+4-3\delta_{l,1}) \frac{1}{2} \alpha_{l+1}^m M_{l+2}^m + \frac{l}{2} \alpha_{l-1}^m M_{l-2}^m \right) \\ &\quad \times r^{-(l+1)} Y_l^m(\vartheta, \varphi) \exp(st); \\ \alpha_l^m &\equiv \frac{1}{2l+1} \sqrt{\frac{(l^2-m^2)((l+1)^2-m^2)}{(2l-1)(2l+3)}}; \\ \gamma_l^m &\equiv \frac{l(l+1)-3m^2}{(2l-1)(2l+3)} \end{aligned} \quad (18)$$

и выразить через них входящую в динамическое граничное условие (16) добавку к давлению электрического поля:

$$\begin{aligned} p_Q = -\frac{Q}{4\pi} \left\{ \partial_r \Phi_0^{(1)} + 2Q\xi + e^2 [\partial_r \Phi_1^{(1)} - h(\vartheta)(\partial_{r,r} \Phi_0^{(1)} \right. \\ \left. + \partial_r \Phi_0^{(1)} + 8Q\xi) + \partial_\vartheta h(\vartheta) \partial_\vartheta \Phi_0^{(1)}] \right\} \Big|_{r=1}. \end{aligned} \quad (19)$$

Система уравнений (10)–(19) является полной формализмом задачи в линейном по малому возмущению поверхности приближении.

## Решение задачи первого порядка

Начнем рассмотрение с уравнений (10)–(12). Преобразуем их так, чтобы получить выражения для компонент скорости  $u_r, u_\vartheta, u_\varphi$  через давление  $p$ . Умножим уравнение (10) на  $\sin \vartheta$ , а уравнение (11) — на  $\cos \vartheta$  и сложим оба уравнения:

$$\begin{aligned} \partial_t(u_r \sin \vartheta + u_\vartheta \cos \vartheta) = 2\Omega u_\varphi \\ - \left( \sin \vartheta \partial_r p + \frac{1}{r} \cos \vartheta \partial_\vartheta p \right). \end{aligned} \quad (20)$$

Уравнение (12) продифференцируем по времени  $t$  и подставим в него правую часть (20), исключив компоненты  $u_r$  и  $u_\vartheta$ :

$$\begin{aligned} d_{t,t} u_\varphi + 4\Omega^2 u_\varphi = 2\Omega \left( \sin \vartheta \partial_r p + \frac{1}{r} \cos \vartheta \partial_\vartheta p \right) \\ - \frac{1}{r \sin \vartheta} \partial_{t,\varphi} p. \end{aligned} \quad (21)$$

Будем полагать зависимость всех искомых величин от времени экспоненциальной, по аналогии с выражением (7):  $u_r, u_\vartheta, u_\varphi, p \sim \exp(st)$ . При этом дифференцирование по времени сводится к появлению множителя  $s$ , и

из уравнения (21) можно легко получить выражение для компоненты скорости  $u_\varphi$  через давление  $p$ :

$$\begin{aligned} u_\varphi = & -\frac{1}{s(s^2 + 4\Omega^2)} \left( \frac{s^2}{r \sin \vartheta} \partial_\varphi p \right. \\ & \left. - 2\Omega s \left( \sin \vartheta \partial_r p + \frac{1}{r} \cos \vartheta \partial_\vartheta p \right) \right). \end{aligned} \quad (22)$$

Используя (22), из уравнений (10) и (11) получим аналогичные выражения для двух других компонент скорости:

$$\begin{aligned} u_r = & -\frac{1}{s(s^2 + 4\Omega^2)} \left[ (s^2 + 4\Omega^2 \cos^2 \vartheta) \partial_r p \right. \\ & \left. + 2\Omega s \frac{1}{r} \partial_\varphi p - 4\Omega^2 \frac{1}{r} \sin \vartheta \cos \vartheta \partial_\vartheta p \right]; \end{aligned} \quad (23)$$

$$\begin{aligned} u_\vartheta = & -\frac{1}{s(s^2 + 4\Omega^2)} \left[ (s^2 + 4\Omega^2 \sin^2 \vartheta) \frac{1}{r} \partial_\vartheta p \right. \\ & \left. + 2\Omega s \operatorname{ctg} \vartheta \frac{1}{r} \partial_\varphi p - 4\Omega^2 \sin \vartheta \cos \vartheta \partial_r p \right]. \end{aligned} \quad (24)$$

Подставим (22)–(24) в уравнение неразрывности (13) и после упрощающих преобразований запишем уравнение для определения гидродинамического давления в жидкости:

$$\begin{aligned} s^2 \Delta p + 4\Omega^2 \left[ \frac{1}{r} \partial_r p + \cos^2 \vartheta \left( \partial_{r,r} p - \frac{1}{r} \partial_r p \right) \right. \\ \left. + \sin^2 \vartheta \Delta_\vartheta \frac{1}{r^2} p - \sin \vartheta \cos \vartheta \partial_\vartheta \left( \frac{2}{r} \partial_r p - \frac{1}{r^2} p \right) \right] = 0. \end{aligned} \quad (25)$$

Будем искать решение этого уравнения в виде разложения по сферическим функциям:

$$p(r, \vartheta, \varphi, t) = \sum_{l=0}^{\infty} \sum_{m=-l}^l p_l^m(r) Y_l^m(\vartheta, \varphi) \exp(st). \quad (26)$$

Подставив (26) в (25) и используя соотношения:

$$\begin{aligned} \sin^2 \vartheta \Delta_\vartheta Y_l^m(\vartheta, \varphi) = & \left( \frac{2}{3} l(l+1)(\gamma_l^m - 1) + m^2 \right) Y_l^m(\vartheta, \varphi) \\ & + l(l+1)(\alpha_{l+1}^m Y_{l+2}^m(\vartheta, \varphi) + \alpha_{l-1}^m Y_{l-2}^m(\vartheta, \varphi)); \\ \cos^2 \vartheta Y_l^m(\vartheta, \varphi) = & \frac{1}{3} (2\gamma_l^m + 1) Y_l^m(\vartheta, \varphi) \\ & + \alpha_{l+1}^m Y_{l+2}^m(\vartheta, \varphi) + \alpha_{l-1}^m Y_{l-2}^m(\vartheta, \varphi); \\ \sin \vartheta \cos \vartheta \partial_\vartheta Y_l^m(\vartheta, \varphi) = & -\gamma_l^m Y_l^m(\vartheta, \varphi) \\ & - l\alpha_{l+1}^m Y_{l+2}^m(\vartheta, \varphi) - (l+1)\alpha_{l-1}^m Y_{l-2}^m(\vartheta, \varphi), \end{aligned} \quad (27)$$

а также, учитывая ортогональность сферических функций, получим систему связанных уравнений для нахождения функций  $p_l^m(r)$ , описывающих зависимость

давления от радиальной координаты:

$$\begin{aligned} & \left( s^2 + \frac{4}{3} \Omega^2 (2\gamma_l^m + 1) \right) \left( \partial_{rr} + \frac{2}{r} \partial_r - \frac{l(l+1)}{r^2} \right) p_l^m(r) \\ & + 4\Omega^2 \alpha_{l-1}^m \left( \partial_{r,r} - \frac{2l-3}{r} \partial_r + \frac{l(l-2)}{r^2} \right) p_{l-2}^m(r) \\ & + 4\Omega^2 \alpha_{l+1}^m \left( \partial_{r,r} + \frac{2l+5}{r} \partial_r + \frac{(l+1)(l+3)}{r^2} \right) p_{l+2}^m(r) = 0. \end{aligned} \quad (28)$$

Приближенное решение этого уравнения можно найти в два этапа. Для отыскания приближения нулевого порядка пренебрежем взаимодействием различных мод, отбросив слагаемые, пропорциональные  $p_{l\pm 2}^m(r)$ . В результате получим обыкновенное дифференциальное уравнение второго порядка, являющееся радиальной частью уравнения Лапласа в сферических координатах. Решение этого уравнения, удовлетворяющее условию ограниченности в центре капли (14), имеет вид:  $p_l^m(r) = A_l^m r^l$ . Чтобы учесть в (28) взаимодействие мод, преобразуем его, заменив функции  $p_{l\pm 2}^m(r)$  решениями, найденными в нулевом приближении, а именно:  $p_{l\pm 2}^m(r) \rightarrow A_{l\pm 2}^m r^{\pm 2}$ . Получим систему неоднородных дифференциальных уравнений для отыскания неизвестных функций  $p_l^m(r)$ , учитывающих взаимодействие мод:

$$\begin{aligned} & \left( s^2 + \frac{4}{3} \Omega^2 (2\gamma_l^m + 1) \right) \left( \partial_{rr} + \frac{2}{r} \partial_r - \frac{l(l+1)}{r^2} \right) p_l^m(r) \\ & = -4\Omega^2 \alpha_{l-1}^m \left( \partial_{r,r} - \frac{2l-3}{r} \partial_r + \frac{l(l-2)}{r^2} \right) A_{l-2}^m r^{l-2} \\ & - 4\Omega^2 \alpha_{l+1}^m \left( \partial_{r,r} + \frac{2l+5}{r} \partial_r + \frac{(l+1)(l+3)}{r^2} \right) A_{l+2}^m r^{l+2}. \end{aligned}$$

В результате решения второй системы выражение для гидродинамического давления в жидкости с точностью до слагаемых  $\sim \Omega^2$  может быть найдено в следующем виде:

$$\begin{aligned} p(\mathbf{r}, t) = & \sum_{l=0}^{\infty} \sum_{m=-l}^l \left( A_l^m r^l - 2 \frac{\Omega^2}{s^2} \frac{\alpha_{l+1}^m}{2l+5} A_{l+2}^m r^{l+2} \right) \\ & \times Y_l^m(\vartheta, \varphi) \exp(st), \end{aligned} \quad (29)$$

где  $A_l^m$  — численные коэффициенты, определяемые из граничных условий.

Подставив (29) в (22)–(24), получим выражения для компонент скорости:

$$\begin{aligned} u_r(\mathbf{r}, t) = & - \sum_{l=0}^{\infty} \sum_{m=-l}^l \\ & \times \frac{1}{s} \left[ \left( l + 2im \frac{\Omega}{s} - 4 \frac{\Omega^2}{s^2} \frac{l(l-1) + m^2}{2l-1} \right) A_l^m r^{l-1} \right. \\ & \left. - 2 \frac{\Omega^2}{s^2} l(2l+5) \alpha_{l+1}^m A_{l+2}^m r^{l+1} \right] Y_l^m(\vartheta, \varphi) \exp(st); \end{aligned}$$

$$\begin{aligned}
u_\vartheta(\mathbf{r}, t) = & - \sum_{l=0}^{\infty} \sum_{m=-l}^l \frac{1}{s} \left[ \left( A_l^m r^{l-1} \right. \right. \\
& - 2 \frac{\Omega^2}{s^2} (2l+5) \alpha_{l+1}^m A_{l+2}^m r^{l+1} \Big) \partial_\vartheta Y_l^m(\vartheta, \varphi) \\
& + 2 \left( \left( i \frac{\Omega}{s} m - 2 \frac{\Omega^2}{s^2} \frac{l(l-1)+m^2}{2l-1} \right) A_l^m r^{l-1} \right. \\
& \left. \left. + 2 \frac{\Omega^2}{s^2} (2l+5) \alpha_{l+1}^m A_{l+2}^m r^{l+1} \right) \operatorname{ctg}(\vartheta) Y_l^m(\vartheta, \varphi) \right] \exp(st); \\
u_\varphi(\mathbf{r}, t) = & -i \sum_{l=0}^{\infty} \sum_{m=-l}^l \frac{1}{s} \left[ \left( m + 2i \frac{\Omega}{s} \frac{l(l-1)+m^2}{2l-1} \right. \right. \\
& - 4 \frac{\Omega^2}{s^2} m \Big) A_l^m r^{l-1} - 2 \left( i \frac{\Omega}{s} + \frac{\Omega^2}{s^2} m \right) (2l+5) \alpha_{l+1}^m A_{l+2}^m r^{l+1} \\
& \times \frac{1}{\sin \vartheta} Y_l^m(\vartheta, \varphi) \exp(st). \tag{30}
\end{aligned}$$

Выражения (29), (30) являются решением системы уравнений (10)–(14).

### Границные условия на свободной поверхности, дисперсионное уравнение

Из кинематического граничного условия (15), используя решения (30) и (7), получим связь коэффициентов  $A_l^m$  с парциальными амплитудами  $M_l^m$ :

$$\begin{aligned}
A_l^m = & -\frac{s^2}{l^2} \left[ \left( l - 2i \frac{\Omega}{s} m + 4 \frac{\Omega^2}{s^2} l(l-1) \beta_{l,m}^{(1)} \right. \right. \\
& + e^2 \frac{l(l-1)-3}{3} \gamma_l^m \Big) M_l^m + \left( 4 \frac{\Omega^2}{s^2} l(2l+5) \right. \\
& + e^2 (l(l+1)-4) \Big) \frac{l \alpha_{l+1}^m}{2(l+2)} M_{l+2}^m \\
& \left. \left. + e^2 \frac{l(l-1) \alpha_{l-1}^m}{2} M_{l-2}^m \right], \tag{31}
\end{aligned}$$

используя которую, можно записать давление через амплитуды  $M_l^m$  капиллярных осцилляций поверхности капли (7):

$$\begin{aligned}
p(\mathbf{r}, t) = & - \sum_{l=0}^{\infty} \sum_{m=-l}^l \left\{ \frac{1}{l^2} \left( l s^2 - 2im\Omega s \right. \right. \\
& + 4\Omega^2 l(l-1) \beta_{l,m}^{(1)} + e^2 s^2 \frac{l(l-1)-3}{3} \gamma_l^m \Big) r^l Y_l^m(\vartheta, \varphi) \\
& + \left( e^2 s^2 \beta_l^{(2)} + 4\Omega^2 (2l+1)(1-r^2) \right) \frac{\alpha_{l-1}^m}{2l} r^{l-2} Y_{l-2}^m(\vartheta, \varphi) \\
& \left. \left. + e^2 s^2 \frac{(l+1)}{l+2} \frac{\alpha_{l+1}^m}{2} r^{l+2} Y_{l+2}^m(\vartheta, \varphi) \right\} M_l^m \exp(st); \tag{32}
\right.
\end{aligned}$$

$$\beta_{l,m}^{(1)} \equiv \frac{l^2 - m^2}{l^2(2l-1)}; \quad \beta_l^{(2)} \equiv \frac{l(l-3)-2}{l-2}.$$

Подставляя выражения (7), (18), (19), (32) в динамическое граничное условие (16) и учитывая ортогональность сферических функций, получим систему линейных связанных уравнений относительно коэффициентов  $M_l^m$ :

$$a_l^m M_l^m + e^2 b_l^m M_{l+2}^m + e^2 c_l^m M_{l-2}^m = 0; \tag{33}$$

$$\begin{aligned}
a_l^m & \equiv l^2(s^2 + \omega_l^2) - 2iml\Omega s \\
& - \Omega^2 l^2 \left( \frac{2}{3} l(1 - \gamma_l^m) - 4(l-1) \beta_{l,m}^{(1)} \right) \\
& - e^2 \left( s^2(l+3) - 2l^2(l^2+l+4) - 4Wl^2(l-4) \right) \frac{l}{3} \gamma_l^m; \\
\omega_l^2 & \equiv l(l-1)(l+2-4W); \\
e^2 b_l^m & \equiv \frac{l^2}{2} \left( 2l\Omega^2 - e^2 \left( s^2 \frac{(l+4)}{(l+2)} \right. \right. \\
& \left. \left. - 2l(l^2+5l+10) - 4Wl(l-7) \right) \right) \alpha_{l+1}^m; \\
e^2 c_l^m & \equiv 0.5l^2 \left( 2l\Omega^2 - e^2 \left( s^2 - 2l(l^2-3l+6) \right. \right. \\
& \left. \left. - 4Wl(l-5) \right) \right) \alpha_{l-1}^m.
\end{aligned}$$

Условием нетривиальной разрешимости системы (33) является обращение в нуль определителя бесконечной размерности, составленного из коэффициентов при неизвестных коэффициентах:

$$\begin{vmatrix} a_l^m & e^2 b_l^m & 0 & \dots \\ e^2 c_{l+2}^m & a_{l+2}^m & e^2 b_{l+2}^m & \dots \\ 0 & e^2 c_{l+4}^m & a_{l+4}^m & \dots \\ \dots & \dots & \dots & \dots \end{vmatrix} = 0.$$

Однако в приближении  $\sim e^2$  выписанное уравнение сводится к простому виду:  $a_l^m \cdot a_{l+2}^m \cdot a_{l+4}^m \dots = 0$  и легко решается:  $a_l^m = 0$  ( $\forall l \geq 2$ ). Последнее выражение и определяет в линейном по  $e^2$  и  $\Omega^2$  приближении дисперсионное уравнение задачи, связывающее частоту колебаний  $s$  с видом колебательной моды (числами  $l$  и  $m$ ):

$$\begin{aligned}
s^2 - 2i \frac{m}{l} \Omega s + \omega_l^2 + e^2 (\eta_l - 4W(5l-3)) \frac{\gamma_0^m}{3} \\
- \Omega^2 \left( \chi_l^m + \frac{m^2}{l^2} \right) = 0; \tag{34}
\end{aligned}$$

$$\eta_l \equiv 3(l^3 + 2l^2 + 3l - 2); \quad \chi_l^m \equiv \chi_{l,m}^{(1)} - \chi_{l,m}^{(2)};$$

$$\chi_{l,m}^{(1)} \equiv \frac{2}{3} l(1 - \gamma_l^m); \quad \chi_{l,m}^{(2)} \equiv \frac{4l^2(l-1) - m^2(2l-3)}{l^2(2l-1)}.$$

Уравнение (34) является квадратным по  $s$ , и его решения имеют вид:

$$s_{1,2} \equiv s_{l,m}^{(\pm)} \approx i\omega_l \left[ 1 + \frac{e^2}{2\omega_l^2} (\eta_l - 4W(5l-3)) \frac{\gamma_l^m}{3} - \frac{\Omega^2}{2\omega_l^2} \chi_l^m \pm \frac{m\Omega}{l\omega_l} \right]. \quad (35)$$

Отметим, что величина  $\omega_l$  определяет частоты капиллярных колебаний заряженной капли в отсутствии вращения.

Используя в (30), (32) выражение (35) для частоты  $s$  и соотношение (31) между константами  $A_l^m$  и  $M_l^m$ , можно записать решения для давления и поля скоростей во вращающейся заряженной осциллирующей капле в окончательном виде:

$$p(\mathbf{r}, t) = \sum_{l=0}^{\infty} \sum_{m=-l}^l \left\{ \left[ \frac{1}{l}\omega_l^2 + e^2(l^2 + 3l^2 + 8 - 4W(l^2 - 2l + 3)) - \Omega^2 \frac{2}{3}(1 - \gamma_l^m) \right] r^l Y_l^m(\vartheta, \varphi) + \left[ e^2\omega_l^2\beta_l^{(2)} - 4\Omega^2(2l+1)(1-r^2) \right] \frac{\alpha_{l-1}^m}{2l} r^{l-2} Y_{l-2}^m(\vartheta, \varphi) + e^2\omega_l^2 \frac{l+1}{l+2} \frac{\alpha_{l+1}^m}{2} r^{l+2} Y_{l+2}^m(\vartheta, \varphi) \right\} M_l^m \exp(s^{(\pm)}t);$$

$$u_r(\mathbf{r}, t) = \pm i \sum_{l=0}^{\infty} \sum_{m=-l}^l \omega_l \left\{ \left[ 1 + \frac{e^2}{2\omega_l^2} (\beta_l^{(3)} - 4W\beta_l^{(4)}) - \frac{\gamma_l^m}{3} - \frac{\Omega^2}{2\omega_l^2} \chi_l^m \pm \frac{m\Omega}{l\omega} \right] r^{l-1} Y_l^m(\vartheta, \varphi) + \left( e^2\beta_l^{(2)} - 4\frac{\Omega^2}{\omega_l^2}(2l+1)(1-r^2) \right) \frac{(l-2)\alpha_{l-1}^m}{2l} r^{l-3} Y_{l-2}^m(\vartheta, \varphi) + e^2(l+1) \frac{\alpha_{l+1}^m}{2} r^{l+1} Y_{l+2}^m(\vartheta, \varphi) \right\} M_l^m \exp(s^{(\pm)}t);$$

$$u_{\vartheta}(\mathbf{r}, t) = \pm i \sum_{l=0}^{\infty} \sum_{m=-l}^l \frac{\omega_l}{l} \left\{ \left[ \left( 1 + \frac{e^2}{2\omega_l^2} (\beta_l^{(3)} - 4W\beta_l^{(4)}) - \frac{\gamma_l^m}{3} - \frac{\Omega^2}{2\omega_l^2} \chi_l^m \pm \frac{m\Omega}{l\omega} \right) \partial_{\vartheta} Y_l^m(\vartheta, \varphi) - \left( 4\frac{\Omega^2}{\omega_l^2}(l-1)\beta_{l,m}^{(1)} \pm 2\frac{m\Omega}{l\omega} \right) (\partial_{\vartheta} Y_l^m(\vartheta, \varphi) - \operatorname{ctg}(\vartheta) l Y_l^m(\vartheta, \varphi)) \right] r^{l-1} + \left[ e^2\beta_l^{(2)} \partial_{\vartheta} Y_{l-2}^m(\vartheta, \varphi) - 4\frac{\Omega^2}{\omega_l^2}(2l+1) \times \left( (1-r^2)\partial_{\vartheta} Y_{l-2}^m(\vartheta, \varphi) + 2r^2 \operatorname{ctg}(\vartheta) Y_{l-2}^m(\vartheta, \varphi) \right) \right] \times \frac{\alpha_{l-1}^m}{2} r^{l-3} + e^2 \frac{l(l+1)}{2(l+2)} \alpha_{l+1}^m r^{l+1} \partial_{\vartheta} Y_{l+2}^m(\vartheta, \varphi) \right\} M_l^m \exp(s^{(\pm)}t);$$

$$\times M_l^m \exp(s^{(\pm)}t);$$

$$u_{\varphi}(\mathbf{r}, t) = \mp \sum_{l=0}^{\infty} \sum_{m=-l}^l \frac{m\omega_l}{l} \left\{ \left[ 1 + \frac{e^2}{2\omega_l^2} (\beta_l^{(3)} - 4W\beta_l^{(4)}) - \frac{\Omega^2}{2\omega_l^2} (\chi_l^m - 8\beta_{l,m}^{(1)}) \pm \frac{m\Omega}{l\omega_l} \times \left( 1 + 2\frac{l^2}{m^2}(l-1)\beta_{l,m}^{(1)} \right) \right] r^{l-1} \frac{1}{\sin \vartheta} Y_l^m(\vartheta, \varphi) + \left[ e^2\beta_l^{(2)} \mp 4\frac{\Omega}{\omega_l} \frac{2l+1}{m} r^2 - 4\frac{\Omega^2}{\omega_l^2}(2l+1)(1-r^2) \right] \times \frac{\alpha_{l-1}^m}{2} r^{l-3} \frac{1}{\sin \vartheta} Y_{l-2}^m(\vartheta, \varphi) + e^2 \frac{l(l+1)}{l+2} \frac{\alpha_{l+1}^m}{2} r^{l+1} \times \frac{1}{\sin \vartheta} Y_{l+2}^m(\vartheta, \varphi) \right\} M_l^m \exp(s^{(\pm)}t); \quad (36)$$

$$\beta_l^{(3)} \equiv 2l^4 + 3l^3 - 6l^2 + 7l + 6; \quad \beta_l^{(4)} \equiv 2l^3 - 4l^2 + 3.$$

Следует отметить, что общие решения для искомых функций  $\xi(\vartheta, \varphi, t)$ ,  $p(\mathbf{r}, t)$ ,  $u_r(\mathbf{r}, t)$ ,  $u_{\vartheta}(\mathbf{r}, t)$ ,  $u_{\varphi}(\mathbf{r}, t)$  должны быть записаны в виде суперпозиции частных решений, соответствующих каждому корню дисперсионного уравнения. Например, для функции  $\xi(\vartheta, \varphi, t)$ , описывающей деформацию равновесной поверхности, будем иметь:

$$\xi(\vartheta, \varphi, t) = \sum_{l=0}^{\infty} \sum_{m=-l}^l (M_{l,m}^{(+)} \exp(s_{l,m}^{(+)}t) + M_{l,m}^{(-)} \exp(s_{l,m}^{(-)}t)) Y_l^m(\vartheta, \varphi).$$

Причем константы  $M_{l,m}^{(\pm)}$  могут быть определены только при задании начальных условий.

Рассмотрим для иллюстрации ситуацию, когда в начальный момент времени заданы следующие условия:

$$t = 0: \quad \xi(\vartheta, \varphi, 0) = Y_n^k(\vartheta, \varphi); \quad \partial_t \xi(\vartheta, \varphi, 0) = 0.$$

Подставив в эти условия записанное выше общее решение  $\xi(\vartheta, \varphi, t)$  и учитывая ортогональность сферических функций, получим систему уравнений, определяющих неизвестные константы  $M_{l,m}^{(\pm)}$ :

$$M_{n,k}^{(+)} + M_{n,k}^{(-)} = 1; \quad M_{n,k}^{(+)} s_{n,k}^{(+)} + M_{n,k}^{(-)} s_{n,k}^{(-)} = 0; \\ M_{l,m}^{(\pm)} = 0, \quad (\forall l \neq n, \quad \forall m \neq k).$$

Решение этой системы, а также выражение (35) для частот  $s_{n,k}^{(\pm)}$  позволяют записать функцию, описывающую эволюцию начального возмущения со временем в виде:

$$\xi(\vartheta, \varphi, t) = \left( \cos(G_n^k \omega_n t) \cos\left(\frac{k}{n}\Omega t\right) + \frac{k\Omega}{n\omega_n} \sin(G_n^k \omega_n t) \sin\left(\frac{k}{n}\Omega t\right) \right) Y_n^k(\vartheta, \varphi);$$

$$G_n^k \equiv 1 + \frac{e^2}{2\omega_n^2} (\eta_n - 4W(5n-3)) \frac{\gamma_n^k}{3} - \frac{\Omega^2}{2\omega_n^2} \chi_n^k. \quad (37)$$

Аналогичным образом строятся решения для всех искомых параметров: поля скоростей, давления и электрического потенциала.

Итак, в использованном линейном по малым параметрам приближении форма вращающейся осциллирующей капли определяется выражениями (1), (2), (7), распределение давления и поля скоростей внутри жидкости — (8), (9), (36), а электростатического потенциала вокруг капли — выражениями (8), (9), (17), (18). Дисперсионное уравнение задачи имеет вид (34) с решениями (35).

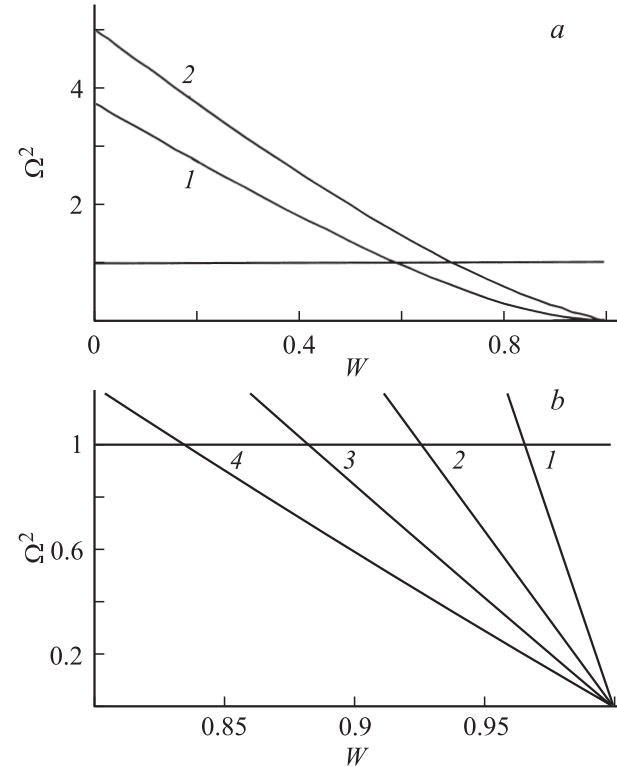
## Анализ результатов

Из дисперсионного уравнения следует, что поверхность осциллирующей капли устойчива, когда частота  $\omega$  является чисто мнимой величиной. Такая ситуация реализуется, если дискриминант уравнения (34) отрицателен. При положительном дискриминанте уравнение (34) имеет два комплексных корня с положительной и отрицательной вещественной частью. Комплексная частота  $\omega$  с положительной вещественной частью ответственна за неустойчивость поверхности, так как она приводит к экспоненциальному нарастанию амплитуды начальной деформации со временем и к распаду поверхности капли. Таким образом, критическим для начала неустойчивости является условие обращения в нуль дискриминанта уравнения (34). Это условие позволяет определить связь между критическими значениями заряда капли (параметра Рэлея  $W$ ) и угловой скорости ее вращения. Поверхность капли неустойчива, если выполняется соотношение

$$4(1-W)(\omega_l^2 - \Omega^2 \chi_l^m) + \Omega^2(\eta_l - 4W(5l-3)) \frac{\gamma_l^m}{3} \leq 0. \quad (38)$$

Причем из дисперсионного уравнения (34) видно, что закономерности реализации неустойчивости осесимметричных и неосесимметричных мод осцилляций различаются качественно: для осесимметричных мод ( $m > 0$ ) неустойчивость имеет колебательный вид, а для осесимметричных — апериодический.

На рис. 1 представлены рассчитанные по выражению (38) критические для реализации неустойчивости поверхности вращающейся заряженной капли кривые для некоторых мод колебаний поверхности:  $l = 2, 3, 10$ . Области неустойчивости лежат в координатной плоскости  $(W, \Omega^2)$  выше изображенных кривых. Из представленных графиков видно, что вращение капли снижает критическую для реализации неустойчивости величину заряда асимметричных мод осцилляций с высокими значениями азимутальных чисел:  $m \sim l$ , что согласуется с данными экспериментальных наблюдений [18]. Колебания с низкими азимутальными числами  $m \ll l$  сохраняют устойчивость во всем диапазоне допустимых значений параметров:  $W \leq 1$ ,  $\Omega^2 < 1$ . Так, для  $l = 2$



**Рис. 1.** Зависимость критических для развития неустойчивости поверхности вращающейся капли значений параметра Рэлея  $W$  и квадрата угловой скорости  $\Omega^2$  для различных мод осцилляций: *a* — кривая 1 соответствует  $l = 2, m = 2$ ; 2 —  $l = 3, m = 3$ ; *b* —  $l = 10$ ; кривая 1 —  $m = 7$ ; 2 — 8; 3 — 9; 4 — 10.

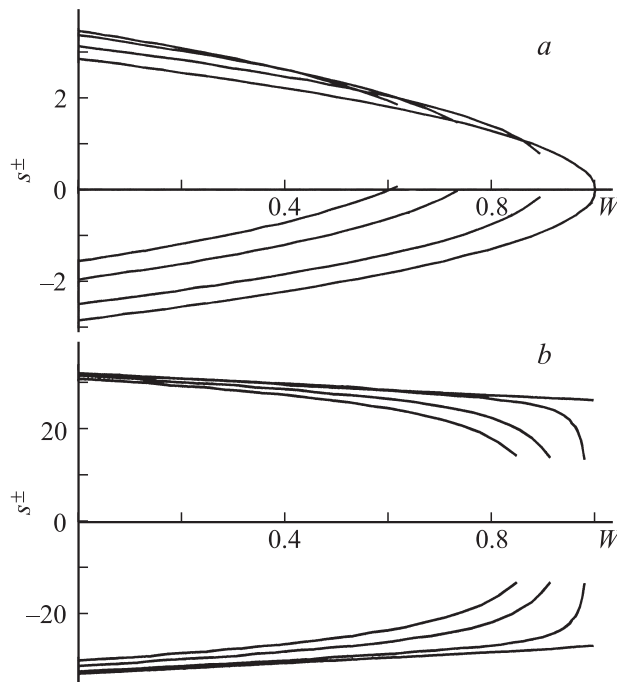
(см. рис. 1, *a*) при достаточно больших значениях заряда ( $W \geq 0.6$ ), неустойчивость может претерпеть только асимметричная мода с азимутальным числом  $m = 2$ , а осцилляции с  $m \leq 1$  устойчивы при любых допустимых значениях заряда и скорости вращения. Впрочем, этот результат не является неожиданным, поскольку ранее в теоретических исследованиях устойчивости сильно заряженной капли, имеющей форму сплюснутого вдоль оси симметрии сфероида [19–21], было показано, что осесимметрическая мода с  $m = 0$  устойчива, а с ростом величины заряда неустойчивость реализуется через деформацию сплюснутого-сфероидальной капли к форме трехосного эллипсоида.

Для  $l = 3$  (см. рис. 1, *a*) неустойчивой может стать только неосесимметрическая с  $m = 3$  при величине заряда капли, удовлетворяющей условию:  $W \geq 0.7$ . Для  $l = 10$  (см. рис. 1, *b*) возможна неустойчивость лишь неосесимметрических мод с  $m \geq 7$  и значениях параметра  $W$ , близкими к единице, а осцилляции с  $m \leq 6$  устойчивы при любых допустимых значениях заряда и скорости вращения. На графиках тонкими горизонтальными линиями нанесено предельно допустимое в проведенном асимптотическом анализе значение квадрата скорости вращения  $\Omega^2 = 1$ . Отметим, что в принятых безразмерных переменных характерный масштаб измерения

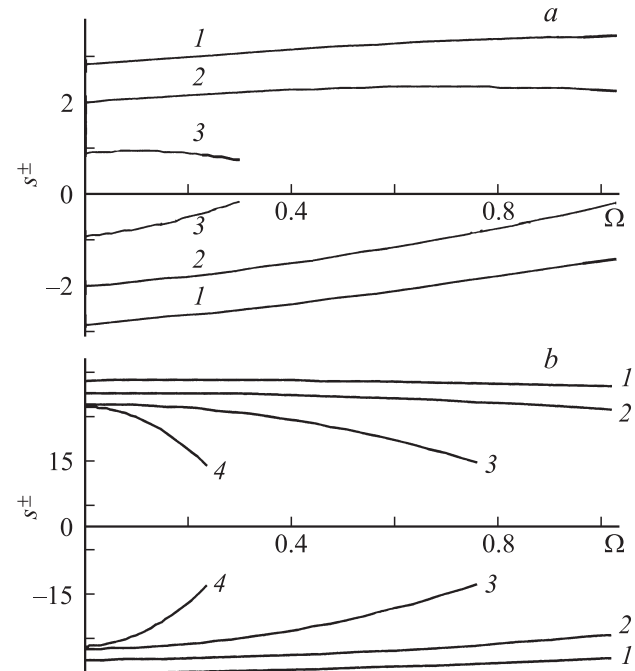
угловой скорости вращения для капли воды миллиметрового радиуса составляет  $\approx 270 \text{ rad/s}$ , что соответствует  $\approx 40$  оборотам в секунду.

На рис. 2 приведены зависимости частот осцилляций, рассчитанных по (35) от величины параметра  $W$  для различных значений квадрата угловой скорости вращения. Длина каждой линии определяется критическим для данной скорости вращения значением параметра  $W$ , выше которого капля претерпевает неустойчивость: более короткие кривые соответствуют большим скоростям вращения  $\Omega^2 = 0; 0.1; 0.5; 0.9$ . Кривые верхней полуплоскости соответствуют первому корню дисперсионного уравнения (имеющему в (35) знак „плюс“), в нижней — второму корню (со знаком „минус“). Влияние угловой скорости вращения на частоту низких мод капиллярных осцилляций капли неоднозначно (см., например, рис. 2, a): для первого корня оно различно при разных значениях  $W$ : при  $W \sim 0$  рост  $\Omega$  приводит к увеличению частоты, при  $W \sim 1$  наоборот. Для высоких мод осцилляций (рис. 2, b) увеличение угловой скорости вращения приводит к снижению частот колебаний во всем диапазоне изменения заряда капли.

На рис. 3 изображены аналогичные зависимости частот осцилляций от скорости вращения для различных значений параметра  $W$ : более короткие линии соответствуют большим значениям  $W = 0; 0.5; 0.9; 0.99$ . Влияние угловой скорости вращения капли на частоту ко-



**Рис. 2.** Зависимости частот осцилляций от параметра  $W$  для различных значений квадрата скорости вращения: более короткие линии соответствуют большим скоростям вращения  $\Omega^2 = 0; 0.1; 0.5; 0.9$ . Кривые, лежащие в верхней полуплоскости, соответствуют первому корню дисперсионного уравнения (имеющему знак „+“), в нижней — второму корню (со знаком „-“): а —  $l = 2, m = 2$ ; б —  $l = 10, m = 10$ .



**Рис. 3.** Зависимости частот осцилляций капли от скорости вращения для различных значений параметра  $W$ . Кривые в верхней полуплоскости соответствуют первому корню дисперсионного уравнения (знак „+“), в нижней — второму корню (со знаком „-“). а —  $l = 2, m = 2$ ; кривые 1 соответствуют  $W = 0; 2 - 0.5; 3 - 0.9$ . б —  $l = 10, m = 10$ . Обозначения те же, что и на рис. 3, а. Кривая 4 —  $W = 0.99$ .

лебаний наиболее существенно при больших значениях параметра  $W$  и приводит к ее снижению.

Интересно, что условия реализации неустойчивости одинаковы для обоих корней уравнения (34) и соответствуют обращению в нуль дискриминанта.

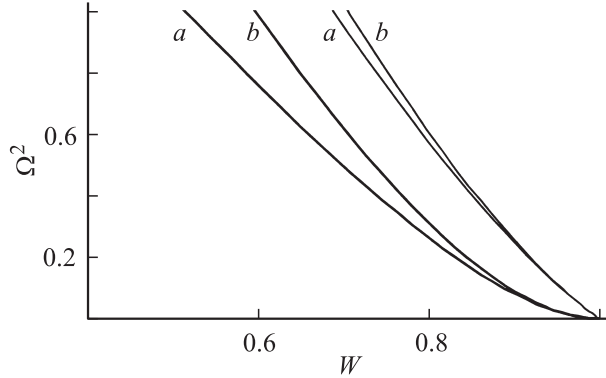
## Влияние силы Кориолиса

Отдельного рассмотрения в исследовании устойчивости заряженной вращающейся капли заслуживает роль силы Кориолиса, не являющейся потенциальной, учет которой существенно усложняет решение.

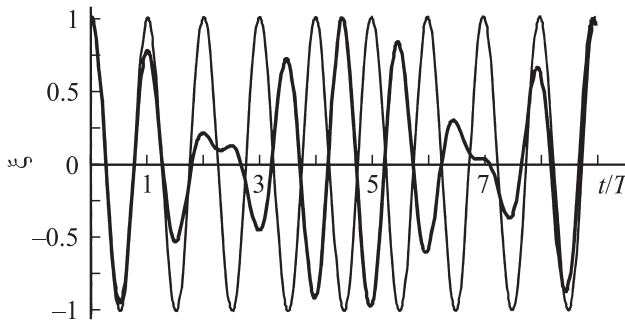
Анализ влияния силы Кориолиса начнем с дисперсионного уравнения (34). В случае пренебрежения силой Кориолиса в нем исчезнет слагаемое, линейное по скорости вращения  $\Omega$ , и изменится коэффициент при  $\Omega^2$ :

$$s^2 + \omega_l^2 + e^2(\eta_l - 4W(5l - 3))\frac{\gamma_l^m}{3} - \Omega^2\chi_{l,m}^{(1)} = 0.$$

Решения такого уравнения являются мнимыми в области устойчивости и вещественными в области неустойчивости. Последнее говорит о том, что возникающая неустойчивость поверхности вращающейся капли является апериодической для любых мод, как и в отсутствие вращения капли [22,23]. Это противоречит результатам, полученным в приведенном выше рассмотрении при корректном учете силы Кориолиса. Решения уравнения (34)



**Рис. 4.** Сравнение критических кривых, полученных с учетом (a) и без учета (b) силы Кориолиса. Жирные линии соответствуют  $l = 2, m = 2$ , тонкие —  $l = 3, m = 3$ .



**Рис. 5.** Зависимости, определяющие эволюцию во времени деформации поверхности осциллирующей капли при  $l = 3$ ;  $m = 3$ ;  $W = 0.1$ ;  $\Omega^2 = 0.3$ . Жирная линия соответствует зависимостям, рассчитанным с учетом силы Кориолиса, тонкая — без учета.

в области неустойчивости комплексные и имеют для асимметричных мод отличную от нуля мнимую часть, наличием которой обусловлено действием силы Кориолиса. Таким образом, реальная неустойчивость поверхности вращающейся капли является колебательной.

Пренебрежение силой Кориолиса повлияет и на вид критической зависимости (38): величина  $\chi_l^m$  изменится на  $\chi_{l,m}^{(1)}$ . Для сравнения на рис. 4 приведены кривые, связывающие критические значения параметров  $\Omega^2$  и  $W$ , для двух различных мод осцилляций поверхности. Индексом  $a$  помечены кривые, рассчитанные без учета силы Кориолиса, индексом  $b$  — с учетом последней. Из приведенных графиков видно, что сила Кориолиса повышает устойчивость вращающейся капли, а сам эффект более существен для низких мод осцилляций.

В выражении (37), описывающем деформацию поверхности осциллирующей капли, пренебрежение силой Кориолиса приведет к следующим изменениям: во-первых, исчезнет линейное по  $\Omega$  слагаемое; во-вторых, косинус, содержащий  $\Omega$  в качестве аргумента обратится в единицу; в-третьих, в величине  $\chi_l^m$  исчезнет вторая составляющая  $\chi_{l,m}^{(2)}$ . Эволюция во времени поверхности

капли определится чисто гармонической функцией:

$$\xi(\vartheta, \varphi, t) = \cos \left( \left( 1 + \frac{e^2}{2\omega_n^2} (\eta_n - 4W(5n-3)) \right) \frac{\gamma_n^k}{3} \right. \\ \left. - \frac{\Omega^2}{2\omega_n^2} \chi_{l,m}^{(1)} \right) \omega_n t Y_n^k(\vartheta, \varphi).$$

На рис. 5 изображены зависимости, определяющие эволюцию во времени деформации поверхности осциллирующей капли, рассчитанные с учетом и без учета силы Кориолиса. Видно, что сила Кориолиса оказывает существенное влияние на данную зависимость, приводя к появлению биений, характерных для сложения двух гармонических колебаний. Увеличение заряда капли приводит к сглаживанию амплитуды биений, а увеличение скорости вращения — к существенному уменьшению периода биений.

## Выводы

Вращение капли может стать причиной неустойчивости ее поверхности при зарядах, докритических ( $W < 1$ ) для сферической капли в отсутствие вращения. Увеличение скорости вращения приводит к возбуждению неустойчивости колебательных мод с высокими значениями азимутального числа  $m$ . В результате на поверхности слабо сплюснутой сфероидальной капли в плоскостях, перпендикулярных оси вращения, формируется  $m \sim l$  эмиссионных выступов [18], с вершин которых может иметь место сброс заряда.

Влияние силы Кориолиса повышает устойчивость поверхности осциллирующей капли и существенно сказывается на характере временной эволюции ее деформации.

Работа выполнена в рамках тематического плана НИР вуза 2008 г. и при поддержке гранта РФФИ № 06-01-00066-а.

## Список литературы

- [1] Беляев С.Т., Зелевинский В.Г. // УФН. 1985. Т. 147. № 2. С. 210–251.
- [2] Григорьев А.И., Синкевич О.А. // ЖТФ. 1986. Т. 56. Вып. 10. С. 1985–1987.
- [3] Grigor'ev A.I., Shiryaeva S.O. // Physica Scripta. 1996. Vol. 54. P. 660–666.
- [4] Trinch E., Wang T.G. // J. Fluid Mech. 1982. Vol. 122. P. 315–338.
- [5] Jakobi N., Croonquist A.P., Elleman D.D., Wang T.G. // Proc. 2<sup>nd</sup> Int. Colloq. on Drop and Bubbles. Pasadena, 1982. JPL Publication. N 82–7. P. 31.
- [6] Hisao Azuma, Shoichi Yoshihara // J. Fluid Mech. 1999. Vol. 393. P. 309–332.
- [7] Won-Kyu Rhim, Takehiko Ishikawa // Rev. Sci. Instr. 2001. Vol. 72. N 9. P. 3572–3575.
- [8] Taric Al-Hassan, Mumfors C.J., Jeffreys G.V. // Chem. Ing. & Techn. 2004. Vol. 14. N 1. P. 65–72.

- [9] *Saghaf S.S., Rednikov A., Ohsaka K.* // Ann. NY Acad. Sci. 2004. N 1027. P. 447–463.
- [10] *Chandrasekhar S.* // Proc. Roy. Soc. London. Series A: Math. Phys. Sci. 1965. Vol. 286. N 1404. P.1–26.
- [11] *Sozou C.* // J. Fluid Mech. 1972. Vol. 56. P. 305–312.
- [12] *Rosenkilde C.E., Randall R.R.* // Acta Mechanica. 1974. Vol. 20. P. 167–186.
- [13] *Радякин Н.К.* // МЖГ. 1979. № 4. С. 78–87.
- [14] *Архипов В.А., Бушланов В.П. и др.* // МЖГ. 1982. № 4. С. 13–20.
- [15] *Athanassenas M.* // Annali delta Scuola Normale Superiore de Piza. 1998. Vol. 26. N 4. P. 749–762.
- [16] *Brown R.A., Scriven L.E.* // Proc. R. Soc. London. 1980. Vol. A371. P. 331–357.
- [17] *Kudbetschek J.P., Weidman P.D.* // J. Fluid Mech. 2007. Vol. 572. P. 261–286.
- [18] *Melo F., Joanny J.F., Fauve S.* // Phys. Rev. Lett. 1989. Vol. 63. N 18. P. 1958–1962.
- [19] *Basaran O.A., Scriven L.E.* // Phys. Fluids A. 1989. Vol. 1. N 5. P. 795–798.
- [20] *Григорьев А.И., Ширяева С.О.* // ЖТФ. 1999. Т. 69. Вып. 7. С. 10–14.
- [21] *Щукин С.И., Григорьев А.И.* // ЖТФ. 1999. Т. 68. Вып. 11. С. 48–51.
- [22] *Rayleigh Lord (J.V. Strutt)* // Phil. Mag. 1882. Vol. 14. P. 184–186.
- [23] *Григорьев А.И.* // ЖТФ. 1985. Т. 55. Вып. 7. С. 1272–1278.